

Машинное обучение (Machine Learning)

Диффузионные модели

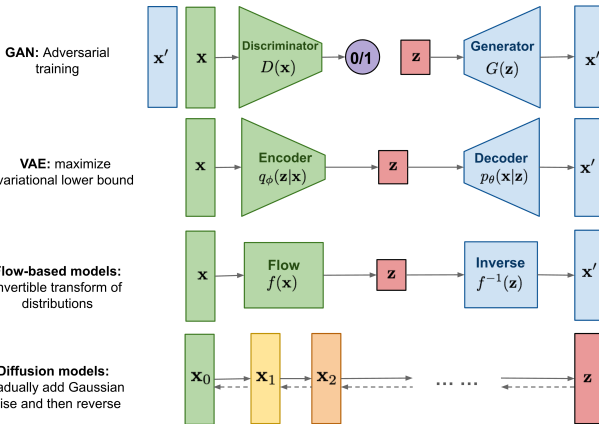
Уткин Л.В.



Общее

- <https://lilianweng.github.io/posts/2021-07-11-diffusion-models/>
- Идея диффузионных моделей основана на идеях неравновесной термодинамики.
- Они определяют марковскую цепь шагов диффузии, чтобы медленно добавлять случайный шум к данным, а затем учатся обращать процесс диффузии вспять, чтобы создавать желаемые выборки данных из шума. В отличие от VAE, модели диффузии обучаются с помощью фиксированной процедуры, а скрытая переменная имеет высокую размерность (такую же, как исходные данные).

Отличие от других моделей



Прямой диффузионный процесс (1)

- Дано точка сгенерированная из реального распределения данных $\mathbf{x}_0 \sim q(\mathbf{x})$
- Определим прямой процесс диффузии, в котором поэтапно за T шагов добавляем небольшое количество гауссова шума к примеру, создавая последовательность зашумленных примеров $\mathbf{x}_1, \dots, \mathbf{x}_T$

Прямой диффузионный процесс (2)

- Размеры шага контролируются дисперсией $\{\beta_t \in (0, 1)\}_{t=1}^T$ которая указывает, сколько шума мы хотим добавить на одном шаге

$$q(\mathbf{x}_t | \mathbf{x}_{t-1}) = \mathcal{N}(\mathbf{x}_t; \sqrt{1 - \beta_t} \mathbf{x}_{t-1}, \beta_t \mathbf{I}),$$

$$q(\mathbf{x}_{1:T} | \mathbf{x}_0) = \prod_{t=1}^T q(\mathbf{x}_t | \mathbf{x}_{t-1})$$

- Точка \mathbf{x}_0 постепенно теряет свои отличительные черты по мере увеличения шага t .

Прямой процесс
oooo●oooo

Обратный процесс
oooooooooooooooooooo

Латентная модель
ooooooo

Прямой диффузионный процесс (3)



Прямой диффузионный процесс (4)

- Замечательное свойство процесса - мы можем генерировать \mathbf{x}_t на произвольном временном шаге t в явном виде, используя репараметризацию.
- Пусть $\alpha_t = 1 - \beta_t$ и $\bar{\alpha}_t = \prod_{i=1}^t \alpha_i$. Тогда

$$\begin{aligned}\mathbf{x}_t &= \sqrt{\alpha_t} \mathbf{x}_{t-1} + \sqrt{1 - \alpha_t} \boldsymbol{\epsilon}_{t-1}; \quad \boldsymbol{\epsilon}_{t-1}, \boldsymbol{\epsilon}_{t-2}, \dots \sim \mathcal{N}(\mathbf{0}, \mathbf{I}) \\ &= \sqrt{\alpha_t \alpha_{t-1}} \mathbf{x}_{t-2} + \sqrt{1 - \alpha_t \alpha_{t-1}} \bar{\boldsymbol{\epsilon}}_{t-2}; \quad \bar{\boldsymbol{\epsilon}}_{t-2} \text{ объед-ет 2 н.р.} \\ &\quad = \dots \\ &= \sqrt{\bar{\alpha}_t} \mathbf{x}_0 + \sqrt{1 - \bar{\alpha}_t} \boldsymbol{\epsilon}\end{aligned}$$

Итого

$$q(\mathbf{x}_t | \mathbf{x}_0) = \mathcal{N}(\mathbf{x}_t; \sqrt{\bar{\alpha}_t} \mathbf{x}_0, (1 - \bar{\alpha}_t) \mathbf{I})$$

Прямой диффузионный процесс (5)

- Напомним, что когда мы объединяем два норм. распред. с разной дисперсией $\mathcal{N}(\mathbf{0}, \sigma_1^2 \mathbf{I})$ и $\mathcal{N}(\mathbf{0}, \sigma_2^2 \mathbf{I})$, новое распределение $\mathcal{N}(\mathbf{0}, (\sigma_1^2 + \sigma_2^2) \mathbf{I})$.
- Здесь объединенное СКО равно $\sqrt{(1 - \alpha_t) + \alpha_t(1 - \alpha_{t-1})} = \sqrt{1 - \alpha_t \alpha_{t-1}}$.
- Обычно можно делать больший шаг обновления, когда пример становится более шумным, поэтому $\beta_1 < \beta_2 < \dots < \beta_T$ и $\bar{\alpha}_1 > \dots > \bar{\alpha}_T$

Связь со стохастической градиентной динамикой Ланжевена (1)

- Динамика Ланжевена — это понятие из физики (стат. модели молекулярных систем)
- В сочетании со SGD стохастическая градиентная динамика Ланжевена создает примеры из плотности $p(\mathbf{x})$, используя только градиенты $\nabla_{\mathbf{x}} \log p(\mathbf{x})$ в марковской цепи обновлений:

$$\mathbf{x}_t = \mathbf{x}_{t-1} + \frac{\delta}{2} \nabla_{\mathbf{x}} \log q(\mathbf{x}_{t-1}) + \sqrt{\delta} \boldsymbol{\epsilon}_t, \text{ где } \boldsymbol{\epsilon}_t \sim \mathcal{N}(\mathbf{0}, \mathbf{I})$$

где δ - размер шага.

Связь со стохастической градиентной динамикой Ланжевена (2)

- Когда $T \rightarrow \infty$, $\epsilon \rightarrow 0$, \mathbf{x}_T определяется истинной плотностью $p(\mathbf{x})$.
- По сравнению со стандартным SGD стохастическая градиентная динамика Ланжевена вводит гауссов шум в обновления параметров, чтобы избежать коллапса в локальные минимумы.

Обратный диффузионный процесс (1)

- Если мы сможем обратить описанный выше процесс и произвести выборку из $q(\mathbf{x}_{t-1}|\mathbf{x}_t)$, мы сможем воссоздать истинную выборку из входного гауссовского шума $\mathbf{x}_T \sim \mathcal{N}(\mathbf{0}, \mathbf{I})$.
- Если даже β_t достаточно мал, он также будет гауссовым.
- К сожалению, мы не можем просто оценить $q(\mathbf{x}_{t-1}|\mathbf{x}_t)$, т.к. для этого нужно использовать весь датасет, и поэтому нужно научить модель p_θ для аппроксимации этих условных вероятностей, чтобы запустить процесс обратной диффузии.

Обратный диффузионный процесс (2)

- К сожалению, мы не можем просто оценить $q(\mathbf{x}_{t-1}|\mathbf{x}_t)$, т.к. для этого нужно использовать весь датасет, и поэтому нужно научить модель p_θ для аппроксимации этих условных вероятностей, чтобы запустить процесс обратной диффузии.

$$p_\theta(\mathbf{x}_{0:T}) = p(\mathbf{x}_T) \prod_{t=1}^T p_\theta(\mathbf{x}_{t-1}|\mathbf{x}_t),$$

$$p_\theta(\mathbf{x}_{t-1}|\mathbf{x}_t) = \mathcal{N}(\mathbf{x}_{t-1}; \boldsymbol{\mu}_\theta(\mathbf{x}_t, t), \boldsymbol{\Sigma}_\theta(\mathbf{x}_t, t))$$

- “Обратная” условная вероятность поддается обработке, если она условна по \mathbf{x}_0

$$q(\mathbf{x}_{t-1}|\mathbf{x}_t, \mathbf{x}_0) = \mathcal{N}(\mathbf{x}_{t-1}; \tilde{\boldsymbol{\mu}}(\mathbf{x}_t, \mathbf{x}_0), \tilde{\boldsymbol{\beta}}_t \mathbf{I})$$

Обратный диффузионный процесс (3)

- Используем правило Байеса

$$\begin{aligned} q(\mathbf{x}_{t-1} | \mathbf{x}_t, \mathbf{x}_0) &= q(\mathbf{x}_t | \mathbf{x}_{t-1}, \mathbf{x}_0) \frac{q(\mathbf{x}_{t-1} | \mathbf{x}_0)}{q(\mathbf{x}_t | \mathbf{x}_0)} \\ &\propto \exp \left(-\frac{1}{2} \left(\frac{(\mathbf{x}_t - \sqrt{\alpha_t} \mathbf{x}_{t-1})^2}{\beta_t} \right. \right. \\ &\quad \left. \left. + \frac{(\mathbf{x}_{t-1} - \sqrt{\bar{\alpha}_{t-1}} \mathbf{x}_0)^2}{1 - \bar{\alpha}_{t-1}} - \frac{(\mathbf{x}_t - \sqrt{\bar{\alpha}_t} \mathbf{x}_0)^2}{1 - \bar{\alpha}_t} \right) \right) \end{aligned}$$

Обратный диффузионный процесс (4)

$$\begin{aligned} &= \exp \left(-\frac{1}{2} \left(\frac{\mathbf{x}_t^2 - 2\sqrt{\alpha_t} \mathbf{x}_t \mathbf{x}_{t-1} + \alpha_t \mathbf{x}_{t-1}^2}{\beta_t} \right. \right. \\ &\quad \left. \left. + \frac{\mathbf{x}_{t-1}^2 - 2\sqrt{\bar{\alpha}_{t-1}} \mathbf{x}_0 \mathbf{x}_{t-1} + \bar{\alpha}_{t-1} \mathbf{x}_0^2}{1 - \bar{\alpha}_{t-1}} - \frac{(\mathbf{x}_t - \sqrt{\bar{\alpha}_t} \mathbf{x}_0)^2}{1 - \bar{\alpha}_t} \right) \right) \\ &= \exp \left(-\frac{1}{2} \left(\left(\frac{\alpha_t}{\beta_t} + \frac{1}{1 - \bar{\alpha}_{t-1}} \right) \mathbf{x}_{t-1}^2 \right. \right. \\ &\quad \left. \left. - \left(\frac{2\sqrt{\alpha_t}}{\beta_t} \mathbf{x}_t + \frac{2\sqrt{\bar{\alpha}_{t-1}}}{1 - \bar{\alpha}_{t-1}} \mathbf{x}_0 \right) \mathbf{x}_{t-1} + C(\mathbf{x}_t, \mathbf{x}_0) \right) + C(\mathbf{x}_t, \mathbf{x}_0) \right) \end{aligned}$$

$C(\mathbf{x}_t, \mathbf{x}_0)$ - некоторая функция, не включающая \mathbf{x}_{t-1} .

Репараметризация среднего и дисперсии

Следуя функции плотности Гаусса и репараметризации среднего значения и дисперсии ($\alpha_t = 1 - \beta_t$ и $\bar{\alpha}_t = \prod_{i=1}^t \alpha_i$):

$$\begin{aligned}\tilde{\beta}_t &= 1/\left(\frac{\alpha_t}{\beta_t} + \frac{1}{1 - \bar{\alpha}_{t-1}}\right) = 1/\left(\frac{\alpha_t - \bar{\alpha}_t + \beta_t}{\beta_t(1 - \bar{\alpha}_{t-1})}\right) \\ &= \frac{1 - \bar{\alpha}_{t-1}}{1 - \bar{\alpha}_t} \cdot \beta_t\end{aligned}$$

Зачем репараметризация?

- Мы не можем распространять градиент обратно, когда осуществляется генерация выборки.
- Чтобы сделать процесс обучаемым, вводится прием репараметризации:
 - можно выразить случайную величину \mathbf{x} как детерминированную переменную $\mathbf{z} = F_\phi(\mathbf{x}, \varepsilon)$, где ε вспомогательная независимая случайная величина, а функция F_ϕ , параметризованная ϕ , преобразует ε в \mathbf{z} .
 - если $\mathbf{z} \sim \mathcal{N}(\mathbf{z}; \boldsymbol{\alpha}, \boldsymbol{\beta}\mathbf{I})$, то $\mathbf{z} = \boldsymbol{\alpha} + \boldsymbol{\beta} \odot \varepsilon$, где $\varepsilon \sim \mathcal{N}(\mathbf{0}, \mathbf{I})$

Обратный диффузионный процесс (6)

$$\begin{aligned}\tilde{\mu}_t(\mathbf{x}_t, \mathbf{x}_0) &= \left(\frac{\sqrt{\alpha_t}}{\beta_t} \mathbf{x}_t + \frac{\sqrt{\bar{\alpha}_{t-1}}}{1 - \bar{\alpha}_{t-1}} \mathbf{x}_0 \right) / \left(\frac{\alpha_t}{\beta_t} + \frac{1}{1 - \bar{\alpha}_{t-1}} \right) \\ &= \left(\frac{\sqrt{\alpha_t}}{\beta_t} \mathbf{x}_t + \frac{\sqrt{\bar{\alpha}_{t-1}}}{1 - \bar{\alpha}_{t-1}} \mathbf{x}_0 \right) \\ &\quad \times \frac{1 - \bar{\alpha}_{t-1}}{1 - \bar{\alpha}_t} \cdot \beta_t \\ &= \frac{\sqrt{\alpha_t}(1 - \bar{\alpha}_{t-1})}{1 - \bar{\alpha}_t} \mathbf{x}_t + \frac{\sqrt{\bar{\alpha}_{t-1}}\beta_t}{1 - \bar{\alpha}_t} \mathbf{x}_0\end{aligned}$$

Обратный диффузионный процесс (7)

Так как $\mathbf{x}_0 = \frac{1}{\sqrt{\bar{\alpha}_t}}(\mathbf{x}_t - \sqrt{1 - \bar{\alpha}_t}\epsilon_t)$, то

$$\begin{aligned}\tilde{\boldsymbol{\mu}}_t &= \frac{\sqrt{\alpha_t}(1 - \bar{\alpha}_{t-1})}{1 - \bar{\alpha}_t} \mathbf{x}_t + \frac{\sqrt{\bar{\alpha}_{t-1}}\beta_t}{1 - \bar{\alpha}_t} \frac{1}{\sqrt{\bar{\alpha}_t}}(\mathbf{x}_t - \sqrt{1 - \bar{\alpha}_t}\epsilon_t) \\ &= \frac{1}{\sqrt{\alpha_t}} \left(\mathbf{x}_t - \frac{1 - \alpha_t}{\sqrt{1 - \bar{\alpha}_t}} \epsilon_t \right)\end{aligned}$$

ELBO - по аналогии с VAE

$$\begin{aligned}-\log p_\theta(\mathbf{x}_0) &\leq -\log p_\theta(\mathbf{x}_0) + D_{\text{KL}}(q(\mathbf{x}_{1:T}|\mathbf{x}_0) \| p_\theta(\mathbf{x}_{1:T}|\mathbf{x}_0)) \\&= -\log p_\theta(\mathbf{x}_0) + \mathbb{E}_{\mathbf{x}_{1:T} \sim q(\mathbf{x}_{1:T}|\mathbf{x}_0)} \left[\log \frac{q(\mathbf{x}_{1:T}|\mathbf{x}_0)}{p_\theta(\mathbf{x}_{0:T})/p_\theta(\mathbf{x}_0)} \right] \\&= -\log p_\theta(\mathbf{x}_0) + \mathbb{E}_q \left[\log \frac{q(\mathbf{x}_{1:T}|\mathbf{x}_0)}{p_\theta(\mathbf{x}_{0:T})} + \log p_\theta(\mathbf{x}_0) \right] \\&= \mathbb{E}_q \left[\log \frac{q(\mathbf{x}_{1:T}|\mathbf{x}_0)}{p_\theta(\mathbf{x}_{0:T})} \right]\end{aligned}$$

ELBO - по аналогии с VAE

- Устанавливаем границу L_{VLB} . Пусть

$$L_{\text{VLB}} = \mathbb{E}_{q(\mathbf{x}_{0:T})} \left(\log \frac{q(\mathbf{x}_{1:T}|\mathbf{x}_0)}{p_\theta(\mathbf{x}_{0:T})} \right) \geq -\mathbb{E}_{q(\mathbf{x}_0)} \log p_\theta(\mathbf{x}_0)$$

- Также легко получить тот же результат, используя неравенство Йенсена. Пусть мы хотим минимизировать кросс-энтропию в качестве цели обучения:

$$\begin{aligned} L_{\text{CE}} &= -\mathbb{E}_{q(\mathbf{x}_0)} \log p_\theta(\mathbf{x}_0) \\ &= -\mathbb{E}_{q(\mathbf{x}_0)} \log \left(\int p_\theta(\mathbf{x}_{0:T}) d\mathbf{x}_{1:T} \right) \\ &= -\mathbb{E}_{q(\mathbf{x}_0)} \log \left(\int q(\mathbf{x}_{1:T}|\mathbf{x}_0) \frac{p_\theta(\mathbf{x}_{0:T})}{q(\mathbf{x}_{1:T}|\mathbf{x}_0)} d\mathbf{x}_{1:T} \right) \end{aligned}$$

Неравенство Йенсена

$$\begin{aligned} L_{\text{CE}} &= -\mathbb{E}_{q(\mathbf{x}_0)} \log \left(\mathbb{E}_{q(\mathbf{x}_{1:T}|\mathbf{x}_0)} \frac{p_\theta(\mathbf{x}_{0:T})}{q(\mathbf{x}_{1:T}|\mathbf{x}_0)} \right) \\ &\leq -\mathbb{E}_{q(\mathbf{x}_{0:T})} \log \frac{p_\theta(\mathbf{x}_{0:T})}{q(\mathbf{x}_{1:T}|\mathbf{x}_0)} \\ &= \mathbb{E}_{q(\mathbf{x}_{0:T})} \left[\log \frac{q(\mathbf{x}_{1:T}|\mathbf{x}_0)}{p_\theta(\mathbf{x}_{0:T})} \right] = L_{\text{VLB}} \end{aligned}$$

Неравенство Йенсена: $f\left(\sum_{i=1}^n q_i x_i\right) \leq \sum_{i=1}^n q_i f(x_i)$, если
 $f(x_i)$ - выпуклые и $q_1 + \dots + q_n = 1$, $q_i \geq 0$

Дальнейшее преобразование

Представим L_{VLB} как комбинацию нескольких членов KL-дивергенции и энтропии:

$$\begin{aligned} L_{\text{VLB}} &= \mathbb{E}_{q(\mathbf{x}_{0:T})} \left[\log \frac{q(\mathbf{x}_{1:T} | \mathbf{x}_0)}{p_\theta(\mathbf{x}_{0:T})} \right] \\ &= \mathbb{E}_q \left[\log \frac{\prod_{t=1}^T q(\mathbf{x}_t | \mathbf{x}_{t-1})}{p_\theta(\mathbf{x}_T) \prod_{t=1}^T p_\theta(\mathbf{x}_{t-1} | \mathbf{x}_t)} \right] \\ &= \mathbb{E}_q \left[-\log p_\theta(\mathbf{x}_T) + \sum_{t=1}^T \log \frac{q(\mathbf{x}_t | \mathbf{x}_{t-1})}{p_\theta(\mathbf{x}_{t-1} | \mathbf{x}_t)} \right] \\ &= \end{aligned}$$

Дальнейшее преобразование

$$\begin{aligned} &= \mathbb{E}_q \left[-\log p_\theta(\mathbf{x}_T) + \sum_{t=2}^T \log \frac{q(\mathbf{x}_t | \mathbf{x}_{t-1})}{p_\theta(\mathbf{x}_{t-1} | \mathbf{x}_t)} + \log \frac{q(\mathbf{x}_1 | \mathbf{x}_0)}{p_\theta(\mathbf{x}_0 | \mathbf{x}_1)} \right] \\ &= \mathbb{E}_q \left[-\log p_\theta(\mathbf{x}_T) + \sum_{t=2}^T \log \left(\frac{q(\mathbf{x}_{t-1} | \mathbf{x}_t, \mathbf{x}_0)}{p_\theta(\mathbf{x}_{t-1} | \mathbf{x}_t)} \cdot \frac{q(\mathbf{x}_t | \mathbf{x}_0)}{q(\mathbf{x}_{t-1} | \mathbf{x}_0)} \right) \right. \\ &\quad \left. + \log \frac{q(\mathbf{x}_1 | \mathbf{x}_0)}{p_\theta(\mathbf{x}_0 | \mathbf{x}_1)} \right] = \end{aligned}$$

Дальнейшее преобразование

$$\begin{aligned} &= \mathbb{E}_q \left[\log \frac{q(\mathbf{x}_T | \mathbf{x}_0)}{p_{\theta}(\mathbf{x}_T)} \right. \\ &\quad \left. + \sum_{t=2}^T \log \frac{q(\mathbf{x}_{t-1} | \mathbf{x}_t, \mathbf{x}_0)}{p_{\theta}(\mathbf{x}_{t-1} | \mathbf{x}_t)} - \log p_{\theta}(\mathbf{x}_0 | \mathbf{x}_1) \right] \\ &= \mathbb{E}_q \left[\underbrace{D_{\text{KL}}(q(\mathbf{x}_T | \mathbf{x}_0) \parallel p_{\theta}(\mathbf{x}_T))}_{L_T} \right. \\ &\quad \left. + \sum_{t=2}^T \underbrace{D_{\text{KL}}(q(\mathbf{x}_{t-1} | \mathbf{x}_t, \mathbf{x}_0) \parallel p_{\theta}(\mathbf{x}_{t-1} | \mathbf{x}_t))}_{L_{t-1}} \underbrace{- \log p_{\theta}(\mathbf{x}_0 | \mathbf{x}_1)}_{L_0} \right] \end{aligned}$$

Дальнейшее преобразование

$$L_{\text{VIB}} = L_T + L_{T-1} + \cdots + L_0$$

где

$$L_T = D_{\text{KL}}(q(\mathbf{x}_T | \mathbf{x}_0) \parallel p_\theta(\mathbf{x}_T))$$

$$L_t = D_{\text{KL}}(q(\mathbf{x}_t | \mathbf{x}_{t+1}, \mathbf{x}_0) \parallel p_\theta(\mathbf{x}_t | \mathbf{x}_{t+1})), \quad 1 \leq t \leq T-1$$

$$L_0 = -\log p_\theta(\mathbf{x}_0 | \mathbf{x}_1)$$

В итоге

- Каждый член KL в L_{VLB} (кроме L_0) сравнивает два распределения Гаусса, и поэтому они могут быть вычислены в явном виде.
- L_T является постоянной и может быть проигнорировано во время обучения, поскольку q не имеет обучаемых параметров и \mathbf{x}_T является гауссовским шумом.

Параметризация потерь для обучения (1)

- Напомним, что нам нужно обучить нейронную сеть для аппроксимации условных распределений вероятностей в процессе обратной диффузии

$$p_{\theta}(\mathbf{x}_{t-1}|\mathbf{x}_t) = \mathcal{N}(\mathbf{x}_{t-1}; \boldsymbol{\mu}_{\theta}(\mathbf{x}_t, t), \boldsymbol{\Sigma}_{\theta}(\mathbf{x}_t, t))$$

- Хотим обучить $\boldsymbol{\mu}_{\theta}$, чтобы предсказывать

$$\tilde{\boldsymbol{\mu}}_t = \frac{1}{\sqrt{\alpha_t}} \left(\mathbf{x}_t - \frac{1 - \alpha_t}{\sqrt{1 - \bar{\alpha}_t}} \boldsymbol{\epsilon}_t \right)$$

Параметризация потерь для обучения (2)

- Поскольку \mathbf{x}_t доступен в качестве входных данных во время обучения, мы можем репараметрировать член гауссовского шума, чтобы он предсказывал ϵ_t на основе входных данных \mathbf{x}_t на шаге t :

$$\mu_\theta(\mathbf{x}_t, t) = \frac{1}{\sqrt{\alpha_t}} \left(\mathbf{x}_t - \frac{1 - \alpha_t}{\sqrt{1 - \bar{\alpha}_t}} \epsilon_\theta(\mathbf{x}_t, t) \right)$$

- Отсюда

$$\mathbf{x}_{t-1} = \mathcal{N}(\mathbf{x}_{t-1}; \frac{1}{\sqrt{\alpha_t}} \left(\mathbf{x}_t - \frac{1 - \alpha_t}{\sqrt{1 - \bar{\alpha}_t}} \epsilon_\theta(\mathbf{x}_t, t) \right), \boldsymbol{\Sigma}_\theta(\mathbf{x}_t, t))$$

Параметризация потерь для обучения (3)

- L_t параметризуется, чтобы минимизировать разницу с $\tilde{\mu}$.

$$\begin{aligned} L_t &= \mathbb{E}_{\mathbf{x}_0, \epsilon} \left[\frac{1}{2\|\boldsymbol{\Sigma}_\theta(\mathbf{x}_t, t)\|_2^2} \|\tilde{\mu}_t(\mathbf{x}_t, \mathbf{x}_0) - \mu_\theta(\mathbf{x}_t, t)\|^2 \right] \\ &= \mathbb{E}_{\mathbf{x}_0, \epsilon} \left[\frac{1}{2\|\boldsymbol{\Sigma}_\theta\|_2^2} \left\| \frac{1}{\sqrt{\alpha_t}} \left(\mathbf{x}_t - \frac{1 - \alpha_t}{\sqrt{1 - \bar{\alpha}_t}} \epsilon_t \right) \right. \right. \\ &\quad \left. \left. - \frac{1}{\sqrt{\alpha_t}} \left(\mathbf{x}_t - \frac{1 - \alpha_t}{\sqrt{1 - \bar{\alpha}_t}} \epsilon_\theta(\mathbf{x}_t, t) \right) \right\|^2 \right] \\ &= \mathbb{E}_{\mathbf{x}_0, \epsilon} \left[\frac{(1 - \alpha_t)^2}{2\alpha_t(1 - \bar{\alpha}_t)\|\boldsymbol{\Sigma}_\theta\|_2^2} \|\epsilon_t - \epsilon_\theta(\mathbf{x}_t, t)\|^2 \right] \\ &= \mathbb{E}_{\mathbf{x}_0, \epsilon} \left[\frac{(1 - \alpha_t)^2}{2\alpha_t(1 - \bar{\alpha}_t)\|\boldsymbol{\Sigma}_\theta\|_2^2} \right. \\ &\quad \times \left. \|\epsilon_t - \epsilon_\theta(\sqrt{\bar{\alpha}_t}\mathbf{x}_0 + \sqrt{1 - \bar{\alpha}_t}\epsilon_t, t)\|^2 \right] \end{aligned}$$

Упрощение

- Обучение диффузионной модели лучше работает с упрощенной целевой функцией, которая игнорирует весовой коэффициент:

$$\begin{aligned} L_t^{\text{simple}} &= \mathbb{E}_{t \sim [1, T], \mathbf{x}_0, \epsilon_t} \left[\|\epsilon_t - \epsilon_\theta(\mathbf{x}_t, t)\|^2 \right] \\ &= \mathbb{E}_{t \sim [1, T], \mathbf{x}_0, \epsilon_t} \left[\|\epsilon_t - \epsilon_\theta(\sqrt{\bar{\alpha}_t} \mathbf{x}_0 + \sqrt{1 - \bar{\alpha}_t} \epsilon_t, t)\|^2 \right] \end{aligned}$$

- Окончательно $L_{\text{simple}} = L_t^{\text{simple}} + C$, где C - константа, независящая от θ .

Алгоритм обучения

Algorithm 1 Training

- 1: **repeat**
 - 2: $\mathbf{x}_0 \sim q(\mathbf{x}_0)$
 - 3: $t \sim \text{Uniform}(\{1, \dots, T\})$
 - 4: $\boldsymbol{\epsilon} \sim \mathcal{N}(\mathbf{0}, \mathbf{I})$
 - 5: Take gradient descent step on

$$\nabla_{\theta} \|\boldsymbol{\epsilon} - \boldsymbol{\epsilon}_{\theta}(\sqrt{\bar{\alpha}_t} \mathbf{x}_0 + \sqrt{1 - \bar{\alpha}_t} \boldsymbol{\epsilon}, t)\|^2$$
 - 6: **until** converged
-

Алгоритм генерации

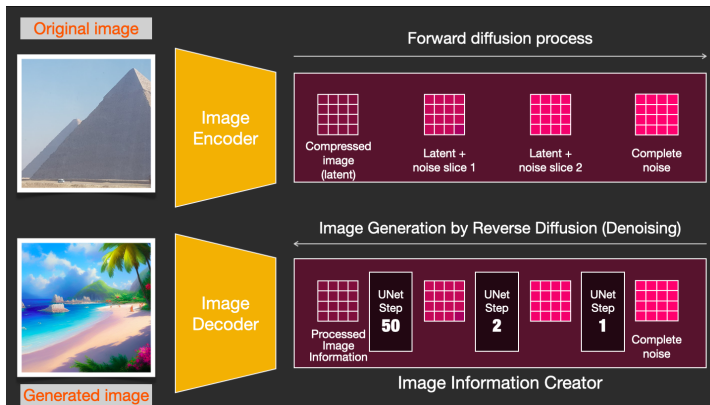
Algorithm 2 Sampling

- 1: $\mathbf{x}_T \sim \mathcal{N}(\mathbf{0}, \mathbf{I})$
- 2: **for** $t = T, \dots, 1$ **do**
- 3: $\mathbf{z} \sim \mathcal{N}(\mathbf{0}, \mathbf{I})$ if $t > 1$, else $\mathbf{z} = \mathbf{0}$
- 4: $\mathbf{x}_{t-1} = \frac{1}{\sqrt{\alpha_t}} \left(\mathbf{x}_t - \frac{1-\alpha_t}{\sqrt{1-\bar{\alpha}_t}} \boldsymbol{\epsilon}_\theta(\mathbf{x}_t, t) \right) + \sigma_t \mathbf{z}$
- 5: **end for**
- 6: **return** \mathbf{x}_0

Диффузия сжатых данных, а не пиксельного изображения

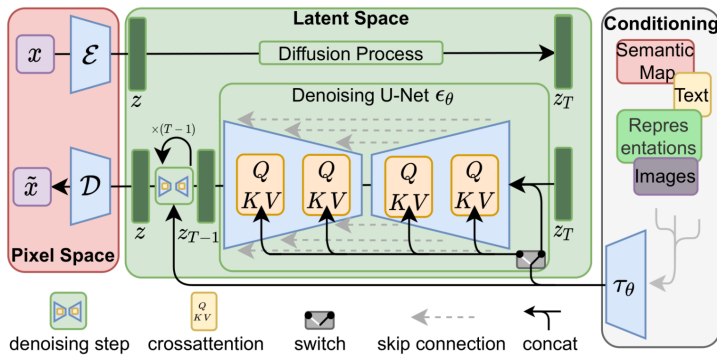
- Для ускорения процесса генерации изображений Stable Diffusion выполняет процесс диффузии не с самими пиксельными изображениями, а со сжатой версией изображения переходом в скрытое пространство (**Latent diffusion model - LDM**).
- Сжатие выполняется при помощи автокодера, который сжимает изображение в скрытое пространство при помощи своего кодера, а затем восстанавливает его при помощи декодера.
- Со сжатыми латентным представлением выполняется прямой процесс диффузии.

Диффузия сжатых данных



<https://habr.com/ru/post/693298/>

Схема генерации изображения из текста



Еще описание

- Процессы диффузии и denoising происходят на скрытом векторе \mathbf{z} .
- Модель denoising представляет собой time-conditioned U-Net с блоками ResNet, дополненную механизмом cross-attention для обработки информации для создания изображений (например, метки классов, семантические карты, размытые варианты изображения) и для представления $\epsilon_\theta(\mathbf{x}_t, t)$.

Еще описание

- Если функция потерь для обычной диффузионной модели имеет вид:

$$L_t^{\text{simple}} = \mathbb{E}_{t \sim [1, T], \mathbf{x}_0, \epsilon_t} [\|\epsilon_t - \epsilon_\theta(\mathbf{x}_t, t)\|^2]$$

- то для латентной модели:

$$L_t^{\text{simple}} = \mathbb{E}_{t \sim [1, T], \mathcal{E}(\mathbf{x}), \epsilon_t} [\|\epsilon_t - \epsilon_\theta(\mathbf{z}_t, t)\|^2]$$

где \mathcal{E} - кодер

Еще описание

- Это эквивалентно объединению представлений различных модальностей в модель с cross-attention. Каждый тип информации связан с доменным кодером τ_θ для проецирования входа y в промежуточное представление, которое может быть отображено в cross-attention элемент, $\tau_\theta(y)$:

$$\text{Attention}(\mathbf{Q}, \mathbf{K}, \mathbf{V}) = \text{softmax}\left(\frac{\mathbf{Q}\mathbf{K}^\top}{\sqrt{d}}\right) \cdot \mathbf{V}$$

где $\mathbf{Q} = \mathbf{W}_Q^{(i)} \cdot \varphi_i(\mathbf{z}_i)$, $\mathbf{K} = \mathbf{W}_K^{(i)} \cdot \tau_\theta(y)$, $\mathbf{V} = \mathbf{W}_V^{(i)} \cdot \tau_\theta(y)$ и $\mathbf{W}_Q^{(i)} \in \mathbb{R}^{d \times d_\epsilon^{(i)}}$, $\mathbf{W}_K^{(i)}, \mathbf{W}_V^{(i)} \in \mathbb{R}^{d \times d_\tau}$, $\varphi_i(\mathbf{z}_i) \in \mathbb{R}^{N \times d_\epsilon^{(i)}}$, $\tau_\theta(y) \in \mathbb{R}^{M \times d_\tau}$

Почему U-Net?

- Модели диффузии тесно связаны с идеей автокодеров с шумоподавлением.
- Кроме того, U-Net-подобные архитектуры являются очень распространенной архитектурой для автокодиров изображений.
- Диффузионная U-Net может обусловливать свой вывод текстовыми эмбедингами через слои cross-attention, которые добавляются как к кодеру, так и к декодеру U-Net, обычно между блоками ResNet.

Прямой процесс
oooooooooo

Обратный процесс
oooooooooooooooooooo

Латентная модель
oooooooo●

Вопросы

?